

ПРУЖНО-ПЛАСТИЧНА ЗАДАЧА ДЛЯ ОДНОБІЧНО ВІДШАРОВАНОГО ТОНКОГО ВКЛЮЧЕННЯ ПІД ЗСУВНИМ НАВАНТАЖЕННЯМ

Досліджено розвиток пластичних деформацій в тілі із тонким включенням яке перебуває в однібічному контакті з ідеально пружно-пластичним середовищем під зсувним навантаженням. Знайдено форму континуальної пластичної зони за розв'язком пружно-пластичної задачі та досліджено розвиток пластичного шару вздовж межі включення – середовище. Об'ємно розподілені пластичні деформації охоплюють менше 40% поверхні включення, а модель локалізованих пластичних деформацій передбачає повне відшарування включення.

Ключові слова: пружно-пластична задача, пластична зона, включення, конформне відображення, задача Келдиша – Седова.

Вступ. Дослідження напружено-деформованого стану (НДС) пружно-пластичних тіл з концентраторами напружень залишається актуальною задачею, незважаючи на увагу дослідників до цієї проблеми в Україні та світі і досягнуті результати [5, 6, 9–11]. З огляду на формальну доступність методів і засобів чисельного аналізу на сьогоднішній день виявилось зовсім небагато аналітичних і чисельно-аналітичних підходів до розв'язання пружно-пластичних задач у тілах з концентраторами напружень складної форми, хоча якраз вони найбільш зручні для застосувань і дають найповніше уявлення про картину НДС. Дослідження розвитку пластичних деформацій у тілах з концентраторами напружень, виконані на основі класичних розв'язків пружно-пластичної задачі, є також важливим доповненням їх досліджень та аналізу на основі модельного припущення про локалізацію пластичних деформацій у шарах нехтовно малої товщини [7, 12].

1. Постановка задачі. Нехай ідеально пружно-пластичне тіло $-\infty < x, y, z < +\infty$, із жорстким включенням $x = 0, -h \leq y \leq h, -\infty < z < +\infty$, що знаходиться в однібічному, $x = +0, -h \leq y \leq h$, ідеальному механічному зв'язку із середовищем, деформується монотонно зростаючим зсувним навантаженням $\tau_{xz} = 0, \tau_{yz} = \tau_\infty$, прикладеним на нескінченності (див. рис. 1, де сірим кольором відмічено зону пластичних деформацій).

Задача полягає у визначенні НДС і знаходженні залежності форми і характеристик пластичної зони від величини діючого навантаження у ідеально пружно-пластичному тілі із зсувною границею текучості, рівною k .

2. Основні результати. У рамках сформульованої задачі у середовищі виникає антиплоский НДС, а утворена компонентами напружень функція $\tau^{(1)}(\zeta) = \tau_{yz}(x, y) + i\tau_{xz}(x, y)$ буде у пружній частині тіла аналітичною функцією комплексного аргументу $\zeta = x + iy$.

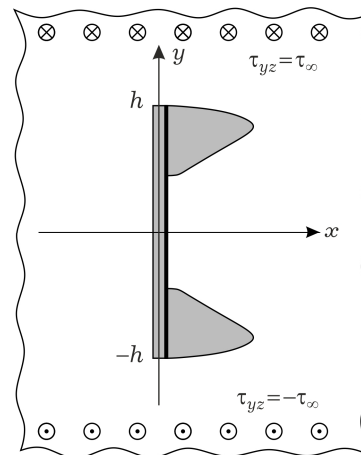


Рис. 1. Поперечний переріз тіла.

[✉] kryvenv@gmail.com

Дослідимо розвиток об'ємно розподілених пластичних деформацій, що розвиваються від вершин включення, та проаналізуємо розвиток пластичних деформацій рамках моделі Леонова – Панасюка – Дагдейла [7], вважаючи їх локалізованими в шарі нульової товщини на межі включення – середовище.

Будемо вважати, що локалізовані деформації зосереджуються у шарах $x = +0$, $h - d \leq |y| \leq h$, де $d = d(\tau_\infty)$ – довжина ділянок, уздовж яких відбулось відшарування включення від основного середовища під впливом навантаження τ_∞ .

Внаслідок симетрії напружено-деформований стан і функцію $\tau^{(1)}(\zeta)$ достатньо розглянути тільки поза включенням у верхній півплощині Oxy (область $\mathcal{D}^{(1)} = \{(x, y) : x \geq 0 \setminus \{x = 0, 0 \leq y \leq h\}\}$).

На межі області $\mathcal{D}^{(1)}$ функція $\tau^{(1)}(\zeta)$ повинна задовольняти такі умови:

$$\begin{aligned} \operatorname{Im} \tau^{(1)}(\zeta) &= 0, & \zeta &= x, & -\infty < x < 0, \\ \operatorname{Im} \tau^{(1)}(\zeta) &= 0, & \zeta &= -0 + iy, & 0 \leq y \leq h, \\ |\tau^{(1)}(\zeta)| &= k, & \zeta &= +0 + iy, & h - d < y < h, \\ \operatorname{Re} \tau^{(1)}(\zeta) &= 0, & \zeta &= +0 + iy, & 0 \leq y \leq h - d, \\ \lim_{\zeta \rightarrow \infty} \tau^{(1)}(\zeta) &= \tau_\infty. \end{aligned} \quad (1)$$

Перша з умов (1) є наслідком симетрії відносно осі $y = 0$, друга – результат відсутності контакту включення із середовищем на ділянці $x = -0$, $-h \leq y \leq h$, третя умова є умовою пластичності: $\tau_{xz}^2(+0, y) + \tau_{yz}^2(+0, y) = k^2$, яка досягається у точках пластичного шару, четверта – результат ідеального механічного контакту на ділянці включення, не охопленій пластичними деформаціями, та відсутності на ній переміщення, п'ята умова задає спосіб і величину діючого навантаження.

Крім того, оскільки умова пластичності не повинна досягатися поза відрізком $x = +0$, $h - d \leq |y| \leq h$, в усіх інших точках області $\mathcal{D}^{(1)}$ повинна виконуватися умова

$$|\tau^{(1)}(\zeta)| < k. \quad (2)$$

Функція $\tau^{(1)}(\zeta)$ є однолистою в області $\mathcal{D}^{(1)}$ і конформно відображає її на область \mathcal{G} ($|\tau| \leq k$, $0 \leq \arg \tau \leq \pi/2$) комплексної площини τ (рис. 2).

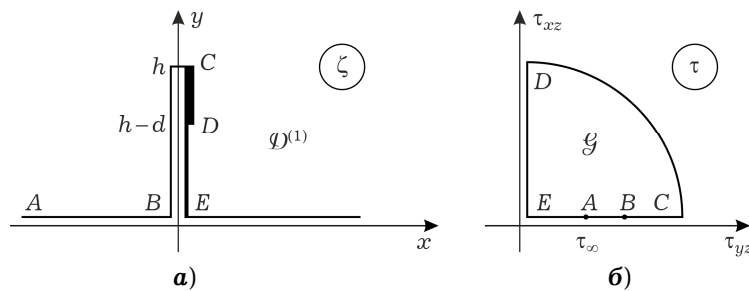


Рис. 2. Конформне відображення, здійснюване функцією $\tau^{(1)}(\zeta)$.

Області $\mathcal{D}^{(1)}$ і \mathcal{G} визначені, їхні межі не містять невідомих ділянок. На границі обох областей є рівно три пари точок, координати яких априорі ві-

домі: $A (\zeta = \infty, \tau = \tau_\infty)$, $C (\zeta = ih, \tau = k)$, $E (\zeta = 0, \tau = 0)$. Тому, згідно з теоремою Рімана про конформні відображення, функція $\tau^{(1)}(\zeta)$ існує і є єдиною. Її можна знайти як композицію елементарних відображень:

$$\tau^{(1)}(\zeta) = \frac{\sqrt{(k^2 + \tau_\infty^2)^2 \sqrt{\zeta^2 + h^2} - 4k^2 \tau_\infty^2 h - (k^2 - \tau_\infty^2) \sqrt[4]{\zeta^2 + h^2}}}{2\tau_\infty \sqrt{\sqrt{\zeta^2 + h^2} - h}}. \quad (3)$$

Таким чином, зі збільшенням величини діючого навантаження τ_∞ від 0 до k довжина пластичного шару монотонно зростає від 0 до h .

Дослідимо тепер розвиток континуальної пластичної зони.

Не приймаючи будь-яких припущень щодо форми пластичної зони, визначимо НДС і форму зони за розв'язком пружно-пластичної задачі як задачі з вільною границею (див. рис. 1).

Функція $\tau_{yz}(x, y) + i\tau_{xz}(x, y)$, яку тепер позначимо через $\tau(\zeta)$, буде аналітичною та однолистою у розрізаній вздовж відрізка $x = 0$, $0 \leq y \leq h$ верхній півплощині ζ поза пластичною зоною (область $\mathcal{D}^{(1)}$). Лінію, що розділяє область пружних і пластичних деформацій, позначимо через L .

На межі області $\mathcal{D}^{(1)}$ функція $\tau(\zeta)$ задовольнятиме умови (1), третя з яких замінена двома умовами

$$\begin{aligned} |\tau(\zeta)| &= k, & \zeta \in L, \\ \arg \tau(\zeta) &= -\arg(\zeta - ih), & \zeta \in L, \end{aligned}$$

а друга умова з (1) є наслідком співвідношення Генкі [8], згідно з яким лінії ковзання у зоні пластичності є відрізками прямих.

Умова пластичності не повинна досягатися поза пластичною зоною, а всередині області $\mathcal{D}^{(1)}$ необхідно, щоб виконувалась нерівність (2).

Як і $\tau^{(1)}(\zeta)$, функція $\tau(\zeta)$ також конформно відображає область $\mathcal{D}^{(1)}$ на \mathcal{G} , але, оскільки межа області $\mathcal{D}^{(1)}$ не є апіорі відомою, визначення $\tau(\zeta)$ не зводиться до побудови самого лише конформного відображення. Знаходження $\tau(\zeta)$ тепер є задачею із невідомою межею, для розв'язання якої скористаємося методом, розвинутим у роботах [3, 4].

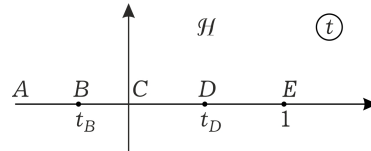


Рис. 3. Область допоміжного комплексного параметра.

Функцію $\tau(\zeta)$ шукаємо в параметричному вигляді:

$$\tau = \tau(t), \quad \zeta = \zeta(t), \quad t \in \mathcal{H} = \{\text{Im } t > 0\}. \quad (5)$$

Оскільки конформний образ області \mathcal{H} у площині t відомий, першу із функцій (5) можна знайти конформним відображенням області \mathcal{H} на $\mathcal{D}^{(1)}$ (рис. 2, рис. 3). Таким чином, отримуємо

$$\tau(t) = k \frac{\sqrt{t_D(t-1)}}{\sqrt{t-t_D} + \sqrt{(1-t_D)t}}, \quad (6)$$

де $t_D = 4 \frac{k^2 \tau_\infty^2}{(k^2 + \tau_\infty^2)^2}$, а під $\sqrt{t-a}$, $a \in \mathbb{R}$, розуміємо аналітичну в \mathcal{H} функцію, дійсну і додатну при $t > a$.

Подібно, як у роботі [3], введемо нову невідому аналітичну в \mathcal{H} функцію

$$\lambda(t) = (\zeta(t) - ih)\tau(t),$$

визначення якої зводиться в півплощині \mathcal{H} до такої задачі Келдиша – Седова [1]:

$$\begin{aligned} \operatorname{Im} \lambda(t) &= -\ell\tau(t), & t \in (-\infty, t_B), \\ \operatorname{Re} \lambda(t) &= 0, & t \in [t_B, 0), \\ \operatorname{Im} \lambda(t) &= 0, & t \in (t_D, 1], \\ \operatorname{Im} \lambda(t) &= -\ell\tau(t), & t \in (1, \infty). \end{aligned} \quad (7)$$

Зауважимо, що характер крайових умов (7) змінюється у точках t_B і 0 , в околі яких функція $\lambda(t)$ повинна бути обмеженою.

Загальний розв'язок задачі (7) можна подати формулою

$$\lambda(t) = \frac{\ell\sqrt{t(t-t_B)}}{\pi} \left(\int_{-\infty}^{t_B} \frac{\tau(\eta) d\eta}{\sqrt{\eta(\eta-t_B)(\eta-t)}} + \int_1^{\infty} \frac{\tau(\eta) d\eta}{\sqrt{\eta(\eta-t_B)(\eta-t)}} + \mathcal{A} \right), \quad (8)$$

де \mathcal{A} – довільна дійсна константа.

Для обмеженості функції (8) у точках зміни типу крайових умов необхідно, щоб виконувалась умова

$$\int_{-\infty}^{t_B} \frac{\tau(\eta) d\eta}{\sqrt{\eta(\eta-t_B)} \eta} + \int_1^{\infty} \frac{\tau(\eta) d\eta}{\sqrt{\eta(\eta-t_B)} \eta} = 0. \quad (9)$$

Крім того, із формули (6) випливає, що $\tau(1) = 0$, а отже, і $\lambda(1) = 0$. Звідси отримуємо ще одну умову, яку повинна задовольняти функція $\lambda(t)$:

$$\int_{-\infty}^{t_B} \frac{\tau(\eta) d\eta}{\sqrt{\eta(\eta-t_B)}(\eta-1)} + \int_1^{\infty} \frac{\tau(\eta) d\eta}{\sqrt{\eta(\eta-t_B)}(\eta-1)} + \mathcal{A} = 0. \quad (10)$$

Безпосередньою перевіркою встановлено, що для кожного $\tau_{\infty} \in (0.01, 0.999)$ ліва частина (9) як функція від t_B є монотонно спадною функцією, знак якої змінюється на відрізку $[-3, 0]$, тому параметр t_B можна знайти чисельним методом.

Підставивши значення \mathcal{A} , визначене із (10), у формулу (8), отримуємо

$$\lambda(t) = \frac{\ell\sqrt{t(t-t_B)}(t-1)}{\pi} \left(\int_{-\infty}^{t_B} \frac{\tau(\eta) d\eta}{\sqrt{\eta(\eta-t_B)}(\eta-1)(\eta-t)} - \int_1^{\infty} \frac{\tau(\eta) d\eta}{\sqrt{\eta(\eta-t_B)}(\eta-1)(\eta-t)} \right). \quad (11)$$

Зауважимо, що усі інтеграли, які входять у формули (8)–(11), є збіжними.

Задачу Келдиша – Седова розв'язано і, отже, знайдено функцію $\zeta(t)$: $\zeta(t) = ih + \lambda(t)/\tau(t)$, яка разом із рівністю (6) повністю визначає НДС і континуальну зону пластичності.

Знайдемо рівняння пружно-пластичної межі L . Враховуючи, що межа L є образом відрізка у площині ζ , із формул (6), (11) одержуємо

$$x(t) = \lambda(t)\sqrt{\frac{t_D-t}{t_D(1-t)}}, \quad y(t) = \ell - \lambda(t)\sqrt{\frac{(1-t_D)t}{t_D(1-t)}}, \quad t \in [0, t_D].$$

Форми межі зон пружних і пластичних деформацій для значень діючого навантаження $\tau_\infty / k = 0.3, 0.5, 0.6, 0.7, 0.8, 0.9, 0.95, 0.975, 0.99$ наведено на рис. 4.

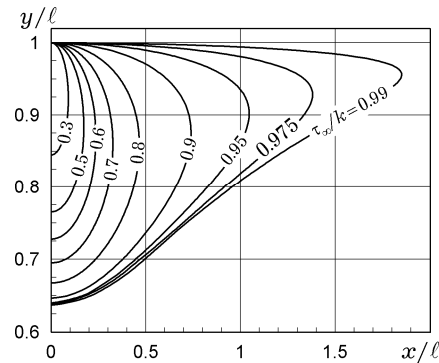


Рис. 4. Межі пластичної зони для різних значень τ_∞ / k .

Висновки і обговорення результатів. З проведеного дослідження випливає, що пластичний шар монотонно зростає, поступово відшаровуючи включення від його вершини до центру. Континуальна зона розвивається від вершини включення, збільшується в об'ємі але не охоплює усієї поверхні включення – більша її частина залишається невідшарованою. На початковій стадії континуальна зона розвивається майже гомотетично, але вже для навантажень $\tau_\infty > 0.5k$ її розвиток домінує в напрямку, перпендикулярному до включення. Зростання пластичної зони вздовж включення сповільнюється і практично припиняється при навантаженнях $\tau_\infty > 0.95k$. Починаючи від $\tau_\infty = 0.95k$, межа зони перестає бути опуклою лінією, її вершина поступово піднімається, наближаючись до перпендикуляра, проведеного через вершину включення. Цікаво, що максимальна частка поверхні включення, охопленої пластичною зоною, дорівнює 0.363, що є досить близьким до золоті пропорції: $(\sqrt{5} - 1) / 2 = 0.382$.

Досить несподіваною виявилася відсутність розв'язку цієї задачі у пружній постановці, адже його існування передбачає, що пружне переміщення $w(x, y)$ в напрямку, перпендикулярному до площини поперечного перерізу (див. рис.1), повинно бути нульовим у двох точках $(-0, 0)$ і $(-0, h)$. У першій точці – внаслідок непарності $w(x, y)$ за координатою y , у другій – внаслідок контакту жорсткого включення із середовищем. А з умови монотонності $w(-0, y)$ на відрізку, який з'єднує ці точки, повинно впливати, що $w(-0, y)$ є тотожно нульовим на цьому відрізку. Тому обидві компоненти напружень $\tau_{xz}(-0, y)$ і $\tau_{yz}(-0, y)$ також повинні бути нульовими на $[0, h]$.

Отже, функція $\tau(\zeta)$ тотожно дорівнювала б нулеві в усій області $\mathcal{D}^{(1)}$ як рівна нулеві функція на деякому відрізку в області аналітичності. За наявності аналітичного розв'язку пружно-пластичної задачі з нього можна отримати пружний розв'язок граничним переходом до нескінченно великої границі текучості [12]. У такий спосіб із формули (6) також отримуємо $\lim_{k \rightarrow \infty} \tau(t) \equiv 0$.

1. Гахов Ф. Д. Краевые задачи. – Москва: Наука, 1977. – 640 с.
Те саме: Gakhov F. D. Boundary value problems. – Oxford etc.: Pergamon Press, 1966. – xix+564 p.
2. Кривень В. А. Лінійна модель пластичної зони біля гострокінцевого концентратора напружень за поздовжнього зсуву // Фіз.-хім. механіка матеріалів. – 2004. – 40, № 4. – С. 41–46.

- Te same: *Kryven' V. A.* Linear model of a plastic zone in the vicinity of a sharp notch under the conditions of longitudinal shear // *Mater. Sci.* – 2004. – **40**, No. 4. – P. 475–483. – <https://doi.org/10.1007/s11003-005-0064-3>.
3. *Кривень В. А.* Непрерывное и разрывные решения упругопластической задачи об антиплоской деформации тела с трещиной // *Физ.-хим. механика материалов.* – 1985. – **21**, № 6. – С. 10–16.
Te same: *Kryven' V. A.* Continuous and discontinuous solutions of the elastoplastic problem of antiplanar deformation of a crack-containing body // *Mater. Sci.* – 1986. – **21**, No. 6. – P. 514–520. – <https://doi.org/10.1007/BF00722232>.
 4. *Кривень В. А.* Узагальнення представлень зони пластичності при антиплоскій деформації пружнопластичного тіла із гострокінцевим концентратором напружень // *Доп. АН УРСР. Сер. А.* – 1983. – № 2. – С. 31–34.
 5. *Кушнір Р. М., Николишин М. М., Осадчук В. А.* Пружний та пружно-пластичний граничний стан оболонок з дефектами. – Львів: Сполом, 2003. – 320 с.
 6. *Кушнір Р. М., Николишин М. М., Ростун М. Й.* Пружно-пластичний граничний стан неоднорідних оболонок обертання з внутрішніми тріщинами // *Мат. методи та фіз.-мех. поля.* – 2018. – **61**, № 4. – С. 56–65.
Te same: *Kushnir R. M., Nykolyslyn M. M., Rostun M. Yo.* Elastoplastic limit state of inhomogeneous shells of revolution with internal cracks // *J. Math. Sci.* – 2021. – **256**, No. 4. – P. 426–438. – <https://doi.org/10.1007/s10958-021-05436-w>.
 7. *Панасюк В. В., Саврук М. П.* Модель смуг пластичності в пружнопластичних задачах механіки руйнування // *Фіз.-хім. механіка матеріалів.* – 1992. – **28**, № 1. – С. 49–68.
Te same: *Panasjuk V. V., Savruk M. P.* Model for plasticity bands in elastoplastic failure mechanics // *Mater. Sci.* – 1992. – **28**, No. 1. – P. 41–57. – <https://doi.org/10.1007/BF00723631>.
 8. *Прагер В., Ходж Ф. Г.* Теория идеально пластических тел. – Москва: Изд-во иностр. лит., 1956. – 400 с.
 9. *Силованюк В. П., Юхим Р. Я., Горбач П. В.* Деформування та руйнування матеріалів в околі сфероїдальних включень // *Фіз.-хім. механіка матеріалів.* – 2010. – **46**, № 6. – С. 42–46.
Te same: *Sylovanyuk V. P., Yukhym R. Ya., Horbach P. V.* Deformation and fracture of materials near spheroidal inclusions // *Mater. Sci.* – 2011. – **46**, No. 6. – P. 757–762. – <https://doi.org/10.1007/s11003-011-9349-x>.
 10. *Berto F., Lazzarin P., Kotousov A., Pook L. P.* Induced out-of-plane mode at the tip of blunt lateral notches and holes under in-plane shear loading // *Fatigue & Fracture of Engineering Materials & Structures.* – 2012. – **35**, No. 6. – P. 538–555. – <https://doi.org/10.1111/j.1460-2695.2011.01647.x>.
 11. *Cimbaro L., Sutton A. P., Balint D. S., Paxton A. T., Hardy M. C.* Embrittlement of an elasto-plastic medium by an inclusion // *Int. J. Fract.* – 2019. – **216**, No. 1. – P. 87–100. – <https://doi.org/10.1007/s10704-019-00344-2>.
 12. *Kryven V. A., Sulym G. T., Yavorska M. I.* Plastic interfacial slip of periodic systems of rigid thin inclusions undergoing longitudinal shear // *J. Theor. Appl. Mech. (Poland).* – 2006. – **44**, No. 4. – P. 837–848.

ELASTIC-PLASTIC PROBLEM FOR A THIN ONE SIDED EXFOLIATED INCLUSION UNDER THE SHEAR LOADING

The development of plastic strains in a body with a thin inclusion which is in one-sided contact with an perfectly elastic-plastic medium under the shear loading are studied. The shape of the continual plastic zone by the solution of the elastic-plastic problem is found and the propagation of plastic layer along the inclusion – environment boundary is obtained. Continually distributed plastic strains occur less than 40% of the inclusion surface, and the model of localized plastic strains predicts complete exfoliation of the inclusion.

Keywords: elastic-plastic problem, plastic zone, inclusion, conformal mapping, Keldysh – Sedov problem.

Терноп. нац. техн. ун-т ім. І. Пулюя, Тернопіль

Одержано
04.11.20